

# Volume et caractéristique d'Euler d'hypersurfaces nodales aléatoires

Thomas Letendre (ÉNS de Lyon)

Orsay – 23 juin 2016

# Géométrie aléatoire

$(M, g)$  variété riemannienne, compacte, sans bord, de dimension  $n$ .  
On choisit une hypersurface de  $M$  “au hasard”.

## Question

Que peut-on dire de sa géométrie (volume, courbure, ...) ou de sa topologie (nombre de composantes connexes, nombres de Betti, caractéristique d'Euler, ...)?

On cherche une réponse statistique : moyenne, moments, loi, comportement presque sûr...

- 1 Le cas des polynômes
- 2 Hypersurfaces nodales aléatoires
- 3 Idées de preuve
- 4 D'autres résultats de géométrie aléatoire

# Le cas des polynômes

# Le cas des polynômes

Sur  $\mathbb{C}$ , un polynôme de degré  $d$  a  $d$  racines, génériquement simples.

## Question

Combien un polynôme de  $\mathbb{R}_d[X]$  a-t-il de racines réelles ?

# Le cas des polynômes

Sur  $\mathbb{C}$ , un polynôme de degré  $d$  a  $d$  racines, génériquement simples.

## Question

Combien un polynôme de  $\mathbb{R}_d[X]$  a-t-il de racines réelles ?

## Théorème (Kac, 1943)

Soit  $P_d = \sum_{i=0}^d a_i X^i$  avec  $a_i$  des v.a.i.i.d. gaussiennes centrées réduites et  $Z_d = (P_d)^{-1}(0)$ , alors

$$\mathbb{E}[\text{card}(Z_d)] \sim \frac{2}{\pi} \ln(d).$$

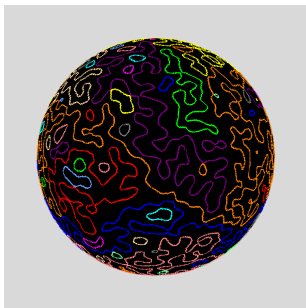
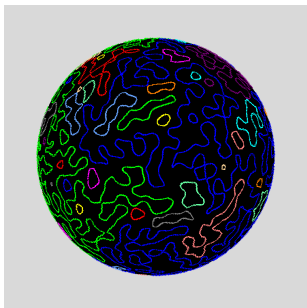
## Théorème (Kostlan, 1993)

Si on choisit  $a_i$  de variance  $\binom{d}{i}$ , on a  $\mathbb{E}[\text{card}(Z_d)] = \sqrt{d}$ .

## En dimension supérieure

$P_d$  polynôme homogène de degré  $d$  en  $n + 1$  variables,  
 $Z_d$  le lieu des zéros de  $P_d$  dans  $\mathbb{R}P^n$ .

Si  $P_d$  est distribué selon une loi de Kostlan,  $Z_d$  est presque sûrement une hypersurface lisse.



Courbes algébriques aléatoires de degré 56 dans  $\mathbb{R}P^2$ .

*Crédit images : Maria Nastasescu (Caltech).*

# En dimension supérieure

## Théorème (Kostlan, 1993)

$$\mathbb{E}[\text{Vol}(Z_d)] = \text{Vol}(\mathbb{R}P^{n-1}) \sqrt{d}.$$

## Théorème (Podkorytov, 2001)

*Si  $n$  est impair,*

$$\mathbb{E}[\chi(Z_d)] \sim (-1)^{\frac{n-1}{2}} \frac{\text{Vol}(\mathbb{S}^n)}{\pi \text{Vol}(\mathbb{S}^{n-1})} \sqrt{d}^n,$$

*où  $\chi$  est la caractéristique d'Euler.*

Résultats analogues en codimension quelconque :

- volume : Kostlan, 1993,
- caractéristique d'Euler : Bürgisser, 2006.

# La caractéristique d'Euler

## Définition

Pour une variété  $M$  de dimension  $n$ ,

$$\chi(M) = \sum_{i=0}^n (-1)^i \dim (H_i(M, \mathbb{R})).$$

- $\chi(M)$  est un invariant topologique.
- Pour une variété fermée de dimension impaire  $\chi(M) = 0$ .
- Si  $M$  est triangulée :

$$\chi(M) = \text{nbre sommets} - \text{nbre arêtes} + \text{nbre faces} + \dots$$

- Pour une surface  $S$  fermée, connexe et orientée :  $\chi(S) = 2 - 2g$ , où  $g$  est le genre géométrique.

# Variables gaussiennes

$(V, \langle \cdot, \cdot \rangle)$  euclidien de dimension  $N$ ,  
 $\Lambda$  auto-adjoint et défini positif.

## Définition

On dit qu'une variable aléatoire  $X$  à valeurs dans  $V$  est gaussienne, centrée, de variance  $\Lambda$ , si sa loi admet la densité :

$$\frac{1}{(2\pi)^{\frac{N}{2}} \sqrt{\det(\Lambda)}} \exp\left(-\frac{1}{2} \langle \Lambda^{-1}x, x \rangle\right)$$

par rapport à la mesure de Lebesgue. On note  $X \sim \mathcal{N}(\Lambda)$ .

Si  $X$  est réduite ( $\Lambda = \text{Id}$ ), alors dans toute base orthonormée  $(e_1, \dots, e_n)$ ,  
 $X = \sum a_i e_i$  avec  $(a_1, \dots, a_n)$  des v.a.i.i.d réelles de loi  $\mathcal{N}(1)$ .

# Hypersurfaces nodales aléatoires

# Espaces propres du laplacien

$(M, g)$  variété riemannienne. La mesure riemannienne  $|dV_M|$  définit un produit scalaire  $L^2$  sur  $C^\infty(M)$  :

$$\langle \varphi, \psi \rangle = \int_M \varphi \psi |dV_M|.$$

On note  $\Delta = d^*d$  l'opérateur de Laplace-Beltrami (dans  $\mathbb{R}^n$ ,  $\Delta = -\sum \frac{\partial^2}{\partial x_i^2}$ ).

## Faits classiques

- Les valeurs propres de  $\Delta$  forment une suite strictement croissante :  $0 = \lambda_0 < \lambda_1 < \dots < \lambda_k < \dots$ , et  $\lambda_k \rightarrow +\infty$ .
- Les espaces propres  $\ker(\Delta - \lambda_k \text{Id}) \subset C^\infty(M)$  sont de dimension finie.
- $\bigoplus_{k \geq 0} \ker(\Delta - \lambda_k \text{Id})$  est dense dans  $L^2(M)$ .

# Hypersurfaces nodales aléatoires

Pour  $\lambda \geq 0$ , on note  $V_\lambda = \bigoplus_{\lambda_k \leq \lambda} \ker(\Delta - \lambda_k \text{Id})$ .

## Définition

Soit  $f$  un vecteur gaussien  $\mathcal{N}(\text{Id})$  dans  $V_\lambda$  et  $Z_f = f^{-1}(0)$ .  
On dit que  $Z_f$  est une hypersurface nodale aléatoire.

# Hypersurfaces nodales aléatoires

Pour  $\lambda \geq 0$ , on note  $V_\lambda = \bigoplus_{\lambda_k \leq \lambda} \ker(\Delta - \lambda_k \text{Id})$ .

## Définition

Soit  $f$  un vecteur gaussien  $\mathcal{N}(\text{Id})$  dans  $V_\lambda$  et  $Z_f = f^{-1}(0)$ .  
On dit que  $Z_f$  est une hypersurface nodale aléatoire.

## Lemme

Soient  $\lambda \geq 0$  et  $f_1, \dots, f_r \in V_\lambda$  des v.a.i.i.d. de loi  $\mathcal{N}(\text{Id})$ , alors  $Z_{\lambda,r} = Z_{f_1} \cap \dots \cap Z_{f_r}$  est presque sûrement une sous-variété lisse de codimension  $r$  de  $M$ .

# Volume moyen

## Théorème (Bérard, 1985 – L., 2014)

Soient  $\lambda \geq 0$ ,  $r \in \{1, \dots, n\}$  et  $f_1, \dots, f_r \in V_\lambda$  des v.a.i.i.d. de loi gaussienne centrée réduite. Soit  $Z_{\lambda,r} = Z_{f_1} \cap \dots \cap Z_{f_r}$ , on a :

$$\mathbb{E}[\text{Vol}(Z_{\lambda,r})] = \left(\frac{\lambda}{n+2}\right)^{\frac{r}{2}} \text{Vol}(M) \frac{\text{Vol}(\mathbb{S}^{n-r})}{\text{Vol}(\mathbb{S}^n)} + O\left(\lambda^{\frac{r-1}{2}}\right)$$

lorsque  $\lambda \rightarrow +\infty$ .

# Volume moyen

## Théorème (Bérard, 1985 – L., 2014)

Soient  $\lambda \geq 0$ ,  $r \in \{1, \dots, n\}$  et  $f_1, \dots, f_r \in V_\lambda$  des v.a.i.i.d. de loi gaussienne centrée réduite. Soit  $Z_{\lambda,r} = Z_{f_1} \cap \dots \cap Z_{f_r}$ , on a :

$$\mathbb{E}[\text{Vol}(Z_{\lambda,r})] = \left(\frac{\lambda}{n+2}\right)^{\frac{r}{2}} \text{Vol}(M) \frac{\text{Vol}(\mathbb{S}^{n-r})}{\text{Vol}(\mathbb{S}^n)} + O\left(\lambda^{\frac{r-1}{2}}\right)$$

lorsque  $\lambda \rightarrow +\infty$ .

## Théorème (Zelditch, 2009 – L., 2014)

Sous les mêmes hypothèses,

$$\left(\frac{n+2}{\lambda}\right)^{\frac{r}{2}} \mathbb{E}[Z_{\lambda,r}] \xrightarrow{\lambda \rightarrow +\infty} \frac{\text{Vol}(\mathbb{S}^{n-r})}{\text{Vol}(\mathbb{S}^n)} |dV_M|$$

en tant que formes linéaires continues sur  $(C^0(M), \|\cdot\|_\infty)$ .

# Caractéristique d'Euler moyenne

## Théorème (L., 2014)

Soient  $\lambda \geq 0$ ,  $r \in \{1, \dots, n\}$  et  $f_1, \dots, f_r \in V_\lambda$  des v.a.i.i.d. de loi gaussienne centrée réduite. On note  $Z_{\lambda,r} = Z_{f_1} \cap \dots \cap Z_{f_r}$ .

Si  $n - r$  est pair on a :

$$\mathbb{E}[\chi(Z_{\lambda,r})] = (-1)^{\frac{n-r}{2}} \left( \frac{\lambda}{n+2} \right)^{\frac{n}{2}} \text{Vol}(M) \frac{\text{Vol}(\mathbb{S}^{n-r+1}) \text{Vol}(\mathbb{S}^{r-1})}{\pi \text{Vol}(\mathbb{S}^n) \text{Vol}(\mathbb{S}^{n-1})} + O\left(\lambda^{\frac{n-1}{2}}\right)$$

lorsque  $\lambda \rightarrow +\infty$ .

Pour  $n - r$  impair,  $\chi(Z_{\lambda,r}) = 0$  presque sûrement.

## Sur le cercle euclidien $\mathbb{S}^1$

$\Delta = -\frac{\partial^2}{\partial \theta^2}$  et les fonctions propres satisfont :  $\frac{\partial^2 \varphi}{\partial \theta^2} + \lambda \varphi = 0$ .

- Les valeurs propres sont les  $k^2$  avec  $k \in \mathbb{N}$ .
- L'espace propre associé à  $k^2$  est engendré par  $\cos(k\theta)$  et  $\sin(k\theta)$ .
- $V_\lambda$  est l'espace des polynômes trigonométriques de degré  $\leq \sqrt{\lambda}$ .

$$f_\lambda(\theta) = \frac{1}{\sqrt{\pi}} \left( \frac{a_0}{\sqrt{2}} + \sum_{k=1}^{\lfloor \sqrt{\lambda} \rfloor} a_k \cos(k\theta) + b_k \sin(k\theta) \right),$$

où les  $a_k$  et  $b_k$  sont des v.a.i.i.d. de loi  $\mathcal{N}(1)$ .

### Théorème (Bérard, 1985)

Lorsque  $\lambda \rightarrow +\infty$ ,  $\mathbb{E}[\text{card}(Z_\lambda)] = \frac{2}{\sqrt{3}} \sqrt{\lambda} + O(1)$ .

## Courbe nodale sur la sphère



Domaines nodaux aléatoires sur la sphère euclidienne,  $\lambda = 1640$ .  
*Crédit image : Alex Barnett (Dartmouth).*

# Idées de preuve

## Variété d'incidence

$V \subset C^\infty(M)$  sous-espace de dimension  $N$ .

$F : V \times M \rightarrow \mathbb{R}$ ,  $F(f, x) = f(x)$  et  $\Sigma = F^{-1}(0)$ .

### Lemme

*Si  $V$  n'a pas de point base (i.e.  $\forall x \in M, \exists f \in V$  tel que  $f(x) \neq 0$ ) alors  $\Sigma$  est une hypersurface lisse de  $V \times M$ .*

### Démonstration.

Pour tout  $(f, x)$ ,  $\partial_1 F : h \mapsto h(x)$  est surjective, donc  $F$  submersion.  $\square$

## Variété d'incidence

$V \subset C^\infty(M)$  sous-espace de dimension  $N$ .

$F : V \times M \rightarrow \mathbb{R}$ ,  $F(f, x) = f(x)$  et  $\Sigma = F^{-1}(0)$ .

### Lemme

*Si  $V$  n'a pas de point base (i.e.  $\forall x \in M, \exists f \in V$  tel que  $f(x) \neq 0$ ) alors  $\Sigma$  est une hypersurface lisse de  $V \times M$ .*

### Démonstration.

Pour tout  $(f, x)$ ,  $\partial_1 F : h \mapsto h(x)$  est surjective, donc  $F$  submersion.  $\square$

Les points critiques de  $\pi_1 : \Sigma \rightarrow V$  sont les  $(f, x)$  tels que  $d_x f = 0$ .  
Ses valeurs critiques sont les  $f$  qui ne s'annulent pas transversalement.

Par Sard,  $Z_f$  est presque sûrement une hypersurface.

# Le noyau de Schwartz

$\Pi : L^2(M) \rightarrow V$  projection orthogonale.

## Lemme

*Il existe une unique fonction  $e : M \times M \rightarrow \mathbb{R}$ , appelée noyau de Schwartz, telle que :*

$$\Pi(\varphi)(x) = \langle e(x, \cdot), \varphi \rangle = \int_{y \in M} e(x, y) \varphi(y) |dV_M|.$$

*Si  $(\varphi_1, \dots, \varphi_N)$  est une base orthonormée de  $V$ ,*

$$e(x, y) = \sum \varphi_i(x) \varphi_i(y).$$

# Le noyau de Schwartz

$\Pi : L^2(M) \rightarrow V$  projection orthogonale.

## Lemme

*Il existe une unique fonction  $e : M \times M \rightarrow \mathbb{R}$ , appelée noyau de Schwartz, telle que :*

$$\Pi(\varphi)(x) = \langle e(x, \cdot), \varphi \rangle = \int_{y \in M} e(x, y) \varphi(y) |dV_M|.$$

*Si  $(\varphi_1, \dots, \varphi_N)$  est une base orthonormée de  $V$ ,*

$$e(x, y) = \sum \varphi_i(x) \varphi_i(y).$$

## Remarques

- $e$  est lisse.
- Pour tout  $x \in M$ ,  $e(x, \cdot) \in V$ .
- $x$  est point base si et seulement si  $e(x, x) = \sum \varphi_i(x)^2 = 0$ .

# La fonction de corrélation

Un vecteur gaussien centré réduit  $f \in V$  définit un processus gaussien centré  $(f(x))_{x \in M}$ .

## Fait

Si  $L$  est linéaire, alors  $L(f)$  est encore un vecteur gaussien centré, et

$$\text{Var}(L(f)) = LL^*.$$

Le processus  $(f(x))$  est caractérisé par sa fonction de corrélation :

$$(x, y) \mapsto \mathbb{E}[f(x)f(y)].$$

## Remarque

$\mathbb{E}[f(x)f(y)] = 0$  si et seulement si  $f(x)$  et  $f(y)$  sont indépendants.

# La fonction de corrélation

## Lemme

Pour tout  $x$  et  $y \in M$ ,  $\mathbb{E}[f(x)f(y)] = e(x, y)$ .

## Démonstration.

Dans une base orthonormée  $(\varphi_1, \dots, \varphi_N)$  de  $V$ , on a  $f = \sum a_i \varphi_i$  où les  $a_i$  sont des normales centrées réduites indépendantes.

$$\mathbb{E}[f(x)f(y)] = \sum_{1 \leq i, j \leq N} \mathbb{E}[a_i a_j] \varphi_i(x) \varphi_j(y) = \sum_{i=1}^N \varphi_i(x) \varphi_i(y) = e(x, y). \quad \square$$

En dérivant sous l'intégrale :

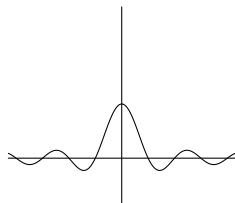
$$\mathbb{E} \left[ \frac{\partial f}{\partial x_i}(x) f(y) \right] = \frac{\partial e}{\partial x_i}(x, y).$$

## La fonction spectrale du laplacien

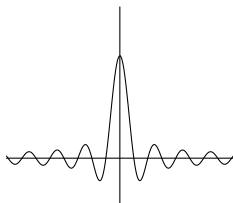
Pour  $V_\lambda = \bigoplus_{\lambda_k \leq \lambda} \ker(\Delta - \lambda_k \text{Id})$ , le noyau  $e_\lambda$  est la fonction spectrale de  $\Delta$ .

Sur le cercle euclidien, c'est le noyau de Dirichlet :

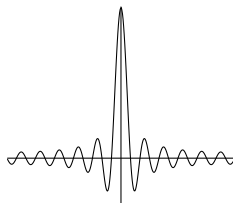
$$e_\lambda(x, y) = \frac{1}{2\pi} \frac{\sin\left(\left(\lfloor \sqrt{\lambda} \rfloor + \frac{1}{2}\right)(x - y)\right)}{\sin\left(\frac{x-y}{2}\right)}.$$



(a)  $\lambda = 16$



(b)  $\lambda = 64$



(c)  $\lambda = 144$

FIGURE: Le noyau de Dirichlet

# Comportement du noyau

Sur le cercle,

- $e_\lambda(x, y)$  ne dépend que de  $d(x, y)$ ,
- échelle caractéristique :  $\frac{1}{\sqrt{\lambda}}$ .

On a une limite d'échelle :

$$\frac{1}{\sqrt{\lambda}} e_\lambda \left( x, x + \frac{h}{\sqrt{\lambda}} \right) \xrightarrow{\lambda \rightarrow +\infty} \frac{1}{\pi} \frac{\sin(h)}{h}.$$

Sur  $M$  quelconque : échelle caractéristique  $\frac{1}{\sqrt{\lambda}}$  et limite d'échelle (ne dépend que de  $n$ ).

## Théorème (Hörmander, 1968)

*Il existe  $C_n > 0$  telle que, lorsque  $\lambda \rightarrow +\infty$ ,*

$$e_\lambda(x, x) = C_n \lambda^{\frac{n}{2}} + O\left(\lambda^{\frac{n-1}{2}}\right).$$

# Une heuristique

On découpe  $M$  en boîtes de taille  $\frac{1}{\sqrt{\lambda}}$  :

$$\simeq \text{Vol}(M) \lambda^{\frac{n}{2}} \text{ boîtes.}$$

Les boîtes sont indépendantes, et il se passe la même chose dans chacune : même proba que  $Z_\lambda$  ait une géométrie donnée dans cette boîte.

# Une heuristique

On découpe  $M$  en boîtes de taille  $\frac{1}{\sqrt{\lambda}}$  :

$$\simeq \text{Vol}(M) \lambda^{\frac{n}{2}} \text{ boîtes.}$$

Les boîtes sont indépendantes, et il se passe la même chose dans chacune : même proba que  $Z_\lambda$  ait une géométrie donnée dans cette boîte.

Composantes de taille  $\frac{1}{\sqrt{\lambda}}$ , donc volume de l'ordre de  $\left(\frac{1}{\lambda}\right)^{\frac{n-1}{2}}$ .

Finalement  $\text{Vol}(Z_\lambda)$  est proportionnel à  $\text{Vol}(M) \sqrt{\lambda}$ .

# Une heuristique

On découpe  $M$  en boîtes de taille  $\frac{1}{\sqrt{\lambda}}$  :

$$\simeq \text{Vol}(M) \lambda^{\frac{n}{2}} \text{ boîtes.}$$

Les boîtes sont indépendantes, et il se passe la même chose dans chacune : même proba que  $Z_\lambda$  ait une géométrie donnée dans cette boîte.

Composantes de taille  $\frac{1}{\sqrt{\lambda}}$ , donc volume de l'ordre de  $(\frac{1}{\lambda})^{\frac{n-1}{2}}$ .

Finalement  $\text{Vol}(Z_\lambda)$  est proportionnel à  $\text{Vol}(M) \sqrt{\lambda}$ .

De même, chaque boîte contribue une constante pour  $\chi$ , donc  $\chi(Z_\lambda)$  proportionnel à  $\text{Vol}(M) \lambda^{\frac{n}{2}}$ .

# La formule de Kac-Rice

Pour  $V \subset C^\infty(M)$  de dimension  $N$  sans point base,

$$\mathbb{E}[\text{Vol}(Z_f)] = \frac{1}{(2\pi)^{\frac{N}{2}}} \int_V \left( \int_{Z_f} \exp\left(-\frac{\|f\|}{2}\right) |dV_{Z_f}| \right) df$$

# La formule de Kac-Rice

Pour  $V \subset C^\infty(M)$  de dimension  $N$  sans point base,

$$\begin{aligned}\mathbb{E}[\text{Vol}(Z_f)] &= \frac{1}{(2\pi)^{\frac{N}{2}}} \int_V \left( \int_{Z_f} \exp\left(-\frac{\|f\|}{2}\right) |dV_{Z_f}| \right) df \\ &= \int_\Sigma \dots \\ &= \frac{1}{(2\pi)^{\frac{N}{2}}} \int_M \left( \int_{\{f|f(x)=0\}} \exp\left(-\frac{\|f\|}{2}\right) df \right) |dV_M|\end{aligned}$$

# La formule de Kac-Rice

Pour  $V \subset C^\infty(M)$  de dimension  $N$  sans point base,

$$\begin{aligned}\mathbb{E}[\text{Vol}(Z_f)] &= \frac{1}{(2\pi)^{\frac{N}{2}}} \int_V \left( \int_{Z_f} \exp\left(-\frac{\|f\|}{2}\right) |dV_{Z_f}| \right) df \\ &= \int_\Sigma \dots \\ &= \frac{1}{(2\pi)^{\frac{N}{2}}} \int_M \left( \int_{\{f|f(x)=0\}} \frac{\|\nabla_x f\|}{\sqrt{e(x,x)}} \exp\left(-\frac{\|f\|}{2}\right) df \right) |dV_M|\end{aligned}$$

# La formule de Kac-Rice

Pour  $V \subset C^\infty(M)$  de dimension  $N$  sans point base,

$$\begin{aligned}\mathbb{E}[\text{Vol}(Z_f)] &= \frac{1}{(2\pi)^{\frac{N}{2}}} \int_V \left( \int_{Z_f} \exp\left(-\frac{\|f\|}{2}\right) |dV_{Z_f}| \right) df \\ &= \int_\Sigma \dots \\ &= \frac{1}{(2\pi)^{\frac{N}{2}}} \int_M \left( \int_{\{f|f(x)=0\}} \frac{\|\nabla_x f\|}{\sqrt{e(x,x)}} \exp\left(-\frac{\|f\|}{2}\right) df \right) |dV_M| \\ &= \frac{1}{\sqrt{2\pi}} \int_M \frac{1}{\sqrt{e(x,x)}} \mathbb{E} \left[ \|\nabla_x f\| \mid f(x) = 0 \right] |dV_M|.\end{aligned}$$

## La preuve pour le volume

$$\mathbb{E}[\text{Vol}(Z_f)] = \frac{1}{\sqrt{2\pi}} \int_{x \in M} \frac{1}{\sqrt{e(x, x)}} \mathbb{E} \left[ \|\nabla_x f\| \mid f(x) = 0 \right] |dV_M|$$

On peut exprimer  $\mathbb{E} \left[ \|\nabla_x f\| \mid f(x) = 0 \right]$  en fonction du noyau.

# La preuve pour le volume

$$\mathbb{E}[\text{Vol}(Z_f)] = \frac{1}{\sqrt{2\pi}} \int_{x \in M} \frac{1}{\sqrt{e(x, x)}} \mathbb{E} \left[ \|\nabla_x f\| \mid f(x) = 0 \right] |dV_M|$$

On peut exprimer  $\mathbb{E} \left[ \|\nabla_x f\| \mid f(x) = 0 \right]$  en fonction du noyau.

$(f(x), \nabla_x f)$  est un vecteur gaussien centré dans  $\mathbb{R} \oplus T_x M$  de variance

$$\Lambda = \begin{pmatrix} e(x, x) & \partial_{y_1} e(x, x) & \cdots & \partial_{y_n} e(x, x) \\ \partial_{x_1} e(x, x) & \partial_{x_1} \partial_{y_1} e(x, x) & \cdots & \partial_{x_1} \partial_{y_n} e(x, x) \\ \vdots & \vdots & \ddots & \vdots \\ \partial_{x_n} e(x, x) & \partial_{x_n} \partial_{y_1} e(x, x) & \cdots & \partial_{x_n} \partial_{y_n} e(x, x) \end{pmatrix}.$$

La loi conditionnelle de  $\nabla_x f$  est une gaussienne centrée.

Sa variance s'obtient à partir de  $\Lambda$ .

# La preuve pour le volume

Pour  $V = V_\lambda$ , on a des estimations pour le noyau et ses dérivées.

## Théorème (Hörmander, 1968 – Bin, 2004)

Il existe  $C_n$  et  $C'_n > 0$  tels que, lorsque  $\lambda \rightarrow +\infty$ ,

- $e_\lambda(x, x) = C_n \lambda^{\frac{n}{2}} + O\left(\lambda^{\frac{n-1}{2}}\right)$ ,
- $\partial_{x_i} e_\lambda(x, x) = O\left(\lambda^{\frac{n}{2}}\right)$ ,
- $\partial_{x_i} \partial_{y_j} e_\lambda(x, x) = \delta_{ij} C'_n \lambda^{\frac{n+2}{2}} + O\left(\lambda^{\frac{n+1}{2}}\right)$ .

## Avec une fonction-test

On peut faire la même chose avec une fonction-test  $\phi : \Sigma \rightarrow \mathbb{R}$ .

### Formule de Kac-Rice

$$\mathbb{E} \left[ \int_{Z_f} \phi(f, x) |dV_{Z_f}| \right] = \frac{1}{\sqrt{2\pi}} \int_M \frac{\mathbb{E} \left[ \phi(f, x) \|\nabla_x f\| \mid f(x) = 0 \right]}{\sqrt{e(x, x)}} |dV_M|.$$

## Avec une fonction-test

On peut faire la même chose avec une fonction-test  $\phi : \Sigma \rightarrow \mathbb{R}$ .

### Formule de Kac-Rice

$$\mathbb{E} \left[ \int_{Z_f} \phi(f, x) |dV_{Z_f}| \right] = \frac{1}{\sqrt{2\pi}} \int_M \frac{\mathbb{E} \left[ \phi(f, x) \|\nabla_x f\| \mid f(x) = 0 \right]}{\sqrt{e(x, x)}} |dV_M|.$$

Pour  $\phi \in C^0(M)$  et  $V = V_\lambda$ , on obtient :

$$\left| \left( \frac{n+2}{\lambda} \right) \mathbb{E} \left[ \int_{Z_\lambda} \phi |dV_{Z_\lambda}| \right] - \frac{\text{Vol}(S^{n-1})}{\text{Vol}(S^n)} \int_M \phi |dV_M| \right| \leq \|\phi\|_\infty O\left(\frac{1}{\sqrt{\lambda}}\right)$$

# La formule de Gauss-Bonnet

Preuve pour  $\chi$  dans le cas  $n = 3$  :  $Z_f$  est une surface.

## Théorème (Formule de Gauss-Bonnet)

$$\chi(Z_f) = \frac{1}{2\pi} \int_{Z_f} \kappa_f(x) |dV_{Z_f}|,$$

où  $\kappa_f$  est la courbure de Gauss de  $Z_f$ .

# La formule de Gauss-Bonnet

Preuve pour  $\chi$  dans le cas  $n = 3$  :  $Z_f$  est une surface.

## Théorème (Formule de Gauss-Bonnet)

$$\chi(Z_f) = \frac{1}{2\pi} \int_{Z_f} \kappa_f(x) |dV_{Z_f}|,$$

où  $\kappa_f$  est la courbure de Gauss de  $Z_f$ .

$$\mathbb{E}[\chi(Z_f)] = \left(\frac{1}{2\pi}\right)^{\frac{3}{2}} \int_M \frac{\mathbb{E}\left[\kappa_f(x) \|\nabla_x f\| \mid f(x) = 0\right]}{\sqrt{e(x, x)}} |dV_M|$$

## Problème

Exprimer  $\kappa_f(x)$  en fonction de  $f$  et ses dérivées en  $x$ .

# La preuve pour $\chi$

## Formule de Gauss

$$\kappa_f(x) = K(T_x Z_f) + \det(\mathbb{I}_f(x)),$$

où  $K$  est la courbure sectionnelle de  $M$ ,  
 $\mathbb{I}_f$  est la seconde forme fondamentale de  $Z_f$ .

$$\mathbb{I}_f(x) = \frac{1}{\|\nabla_x f\|} (\nabla_x^2 f)_{/T_x Z_f}$$

$(f(x), \nabla_x f, \nabla_x^2 f)$  est un vecteur gaussien centré,  
sa variance dépend seulement de  $e$  et ses dérivées en  $(x, x)$ .

# La preuve pour $\chi$

## Formule de Gauss

$$\kappa_f(x) = K(T_x Z_f) + \det(\mathbb{I}_f(x)),$$

où  $K$  est la courbure sectionnelle de  $M$ ,  
 $\mathbb{I}_f$  est la seconde forme fondamentale de  $Z_f$ .

$$\mathbb{I}_f(x) = \frac{1}{\|\nabla_x f\|} (\nabla_x^2 f)_{/T_x Z_f}$$

$(f(x), \nabla_x f, \nabla_x^2 f)$  est un vecteur gaussien centré,  
sa variance dépend seulement de  $e$  et ses dérivées en  $(x, x)$ .

- $K(T_x Z_f)$  est borné, indépendamment de  $x$ ,  $f$  et  $\lambda$ .
- $\det(\mathbb{I}_f(x))$  contribue un terme d'ordre  $\lambda$ .

Asymptotiquement, on ne voit plus la courbure ambiante.

# D'autres résultats de géométrie aléatoire

## Autres résultats

- Asymptotique pour la moyenne du cycle conormal de  $Z_\lambda$ , d'ordre  $\lambda^{\frac{n}{2}}$ .  
(Rivière – Dang, 2015)  
Permet de retrouver l'asymptotique de  $\mathbb{E}[\chi(Z_\lambda)]$ .
- Asymptotique de la variance pour la longueur de courbes nodales dans  $\mathbb{S}^2$ , d'ordre  $\ln(\lambda)$ .  
(Wigman, 2010)
- Moyenne des nombres de Betti de  $Z_\lambda$  : encadrement asymptotique d'ordre  $\lambda^{\frac{n}{2}}$ .  
(Gayet – Welschinger, 2014)

## Autres résultats

### Théorème (Nazarov – Sodin, 2015)

Soit  $(M, g)$  riemannienne de dimension  $n$ , il existe  $C_n > 0$  telle que, pour tout  $\varepsilon > 0$ ,

$$\mathbb{P} \left( \left| \frac{b_0(Z_f)}{\lambda^{\frac{n}{2}}} - C_n \text{Vol}(M) \right| > \varepsilon \right) \xrightarrow{\lambda \rightarrow +\infty} 0.$$

### Théorème (Gayet – Welschinger, 2015)

Soient  $(M, g)$  riemannienne de dimension  $n$  et  $\Sigma$  une hypersurface fermée de  $\mathbb{R}^n$ . Alors

$$\liminf_{\lambda \rightarrow +\infty} \mathbb{E} \left[ \frac{N_{\Sigma}(f)}{\lambda^{\frac{n}{2}}} \right] \geq C_{\Sigma},$$

où  $N_{\Sigma}(f)$  est le nombre de composantes de copies de  $\Sigma$  contenues dans  $Z_f$  et  $C_{\Sigma} > 0$  est explicite.

# Cadre algébrique réel

$X$  variété projective complexe de dimension  $n$ ,  
 $E$  fibré hermitien de rang  $r$  et  $L$  fibré en droites hermitien positif.

On suppose  $X$ ,  $E$  et  $L$  munis de structures réelles et  $\mathbb{R}X \neq \emptyset$ .

$\mathbb{R}H^0(X, E \otimes L^d)$  : espace des sections holomorphes globales de  $E \otimes L^d$ ,  
équivariante pour la structure réelle ( $d \in \mathbb{N}$ ).

$s_d \in \mathbb{R}H^0(X, E \otimes L^d)$  vecteur aléatoire  $\mathcal{N}(\text{Id})$ ,  $Z_d = (s_d)^{-1}(0) \cap \mathbb{R}X$ .

## Lemme

*Il existe  $d_0 \in \mathbb{N}$  tel que pour tout  $d \geq d_0$ ,  $Z_d$  est presque sûrement une sous-variété lisse de codimension  $r$  de  $\mathbb{R}X$ .*

# Cadre algébrique réel

## Théorème (L., 2014)

Soit  $d \geq d_0$  et  $s_d \in \mathbb{R}H^0(X, E \otimes L^d)$  de loi  $\mathcal{N}(\text{Id})$ . Lorsque  $d \rightarrow +\infty$ , on a :

$$\mathbb{E}[\text{Vol}(Z_d)] = d^{\frac{r}{2}} \text{Vol}(\mathbb{R}X) \frac{\text{Vol}(\mathbb{S}^{n-r})}{\text{Vol}(\mathbb{S}^n)} + O\left(d^{\frac{r}{2}-1}\right),$$

et si  $n - r$  est pair,

$$\mathbb{E}[\chi(Z_d)] = (-1)^{\frac{n-r}{2}} d^{\frac{n}{2}} \text{Vol}(\mathbb{R}X) \frac{\text{Vol}(\mathbb{S}^{n-r+1}) \text{Vol}(\mathbb{S}^{r-1})}{\pi \text{Vol}(\mathbb{S}^n) \text{Vol}(\mathbb{S}^{n-1})} + O\left(d^{\frac{n}{2}-1}\right).$$

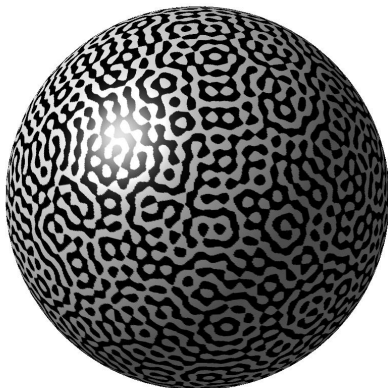
## Théorème (L., 2014)

Sous les mêmes hypothèses,

$$\left(\frac{1}{d}\right)^{\frac{r}{2}} \mathbb{E}[Z_d] \xrightarrow{d \rightarrow +\infty} \frac{\text{Vol}(\mathbb{S}^{n-r})}{\text{Vol}(\mathbb{S}^n)} |dV_{\mathbb{R}X}|,$$

en tant que formes linéaires continues sur  $(C^0(\mathbb{R}X), \|\cdot\|_\infty)$ .

Merci de votre attention.



Domaines nodaux aléatoires sur la sphère euclidienne,  
modèle d'harmoniques sphériques pures,  $\lambda = 6480$ .

*Crédit image : Alex Barnett (Dartmouth).*